

III Magnétostatique

III. 0) Introduction

- + Magnétisme connu depuis l'antiquité : ville grecque de Magnésie
 → utilisation des pierres "magnétites" attirant le fer
 puis pour les boussoles

- + Force de Lorentz (1895): $\vec{F} = q \vec{v} \wedge \vec{B}$ (→ règle du doigt!)
 décrit action courant électrique sur charge en mouvement

⇒ champ magnétique \vec{B} , unité Tesla (T)
 ex: champ terrestre $\sim 50 \mu\text{T}$, électroaimant qqT
 bobines supra (1K) 5-10T

- + la force magnétique ne travaille pas!
 . déplacement $d\vec{\ell} \parallel \vec{v}$ } donc $\delta W = \vec{F} \cdot d\vec{\ell} = 0$
 $\vec{F} \perp \vec{v}$ (puisque $\vec{F} = q\vec{v} \wedge \vec{B}$)
 . $\vec{F}_{\text{magnét}}$ ne peut pas mettre en mouvement mais doit être univecteur
 (c'est à dire direction)

- + L'orientation de \vec{F} dépend ^{de l'orientation} du ~~choix~~ du repère (≠ produit vectoriel)
 ⇒ \vec{B} est un pseudo vecteur ou vecteur axial ^{= orientation espace}

- + Mais \vec{F} ne dépend pas du référentiel Galiléen
 . Soit R et R' deux réf. Galiléens / $\vec{v}' = -\vec{v}_{R'/R} + \vec{v}$
 . $\vec{F}_R = \vec{F}_{R'}$ soit $q(\vec{E} + \vec{v} \wedge \vec{B}) = q(\vec{E}' + \vec{v}' \wedge \vec{B}')$
 . d'où $\forall \vec{v}$, $\vec{E} + \vec{v} \wedge \vec{B} = \vec{E}' + (\vec{v}_{R'/R} + \vec{v}) \wedge \vec{B}'$
 soit $\vec{E} = \vec{E}' - \vec{v}_{R'/R} \wedge \vec{B}'$ et $\vec{B} = \vec{B}'$

On dit q ⇒ lien entre \vec{E} et \vec{B} et plus tard $c = \text{cte}$.

III. 1) Sources de champs magnétiques

i) Les aimants permanents

- aimants naturels / ferrites ou nébium
- ↳ propriété magnétique découle de la structure du cristal
- ⇒ cours phys statistique / matière condensée

ii) Les courants, i.e. charges en mouvement

- Expérience d'Oersted en 1819 : changement d'orientation Boussole à proximité courant électrique / fil
- Description par J-B Biot & F. Savart (1820) avec

$$\vec{B}(\pi) = \frac{\mu_0 q}{4\pi} \vec{v}(P) \wedge \frac{\vec{P}\pi}{\|\vec{P}\pi\|^3} \left\{ \begin{array}{l} \text{champ créé en } \pi \text{ par} \\ \text{charge } q \text{ en } P \text{ avec vitesse } \vec{v} \end{array} \right.$$

Rem $\|\vec{B}(\pi)\| \propto \frac{v}{\pi^2}$; Perméabilité du vide $\mu_0 = 4\pi 10^{-7}$
 $[\mu_0] = \text{kg m A}^{-2} \text{s}^{-2}$

Unité.

$$[B] = \text{kg A}^{-1} \text{s}^{-2} = \text{V s m}^{-2} = \text{T}$$

$$[B] = [\mu_0] \text{ A m}^{-1}$$

- champ créé par un courant I dans un fil : (courant constant)

$\vec{B}(\pi) = \int_C \frac{\mu_0 I}{4\pi} d\vec{\ell} \wedge \frac{\vec{P}\pi}{\|\vec{P}\pi\|^3}$ où $d\vec{\ell} = \vec{t} d\ell$ magnétoSTATIQUE

et $[d\vec{\ell}] = [q][v] = \text{C m s}^{-1}$

$G = \text{contour du fil.}$ La source discrète qv est ici $d\vec{\ell} = I d\vec{\ell}$

Rem La géométrie est telle que $\text{longueur fil} \gg \text{section } (s)$

$$I = \vec{j} \cdot \vec{n} S \quad \text{où } \vec{j} = \text{dens. volumique de courant}$$

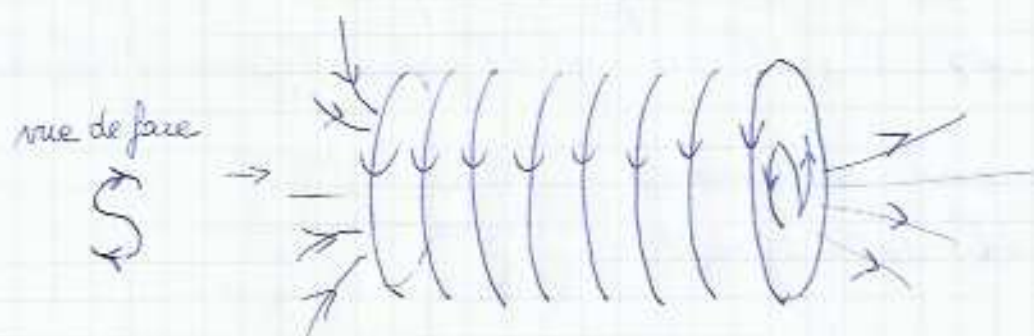
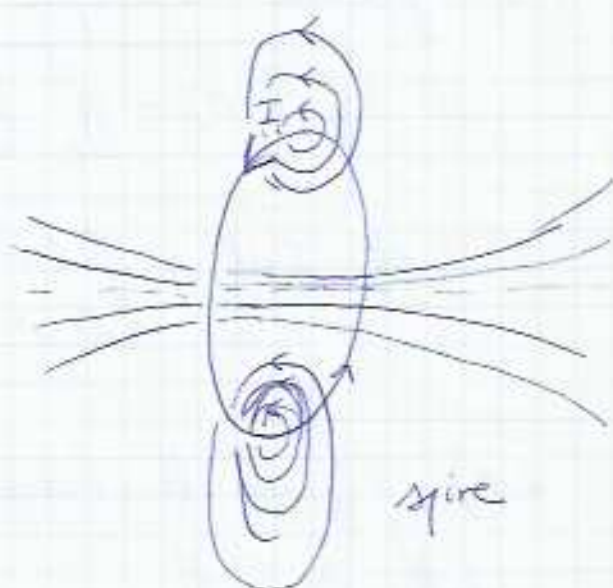
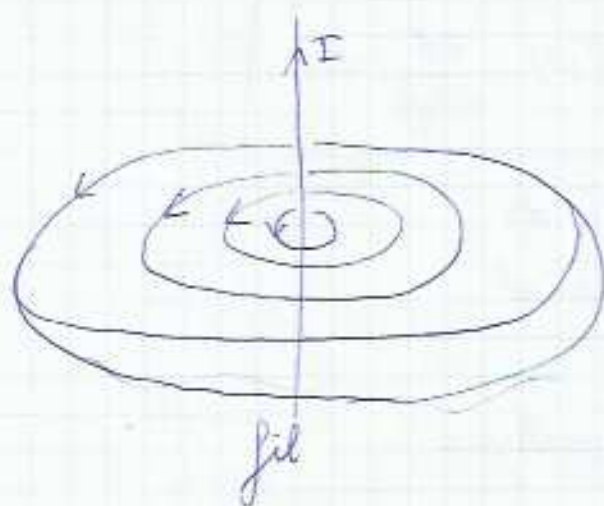
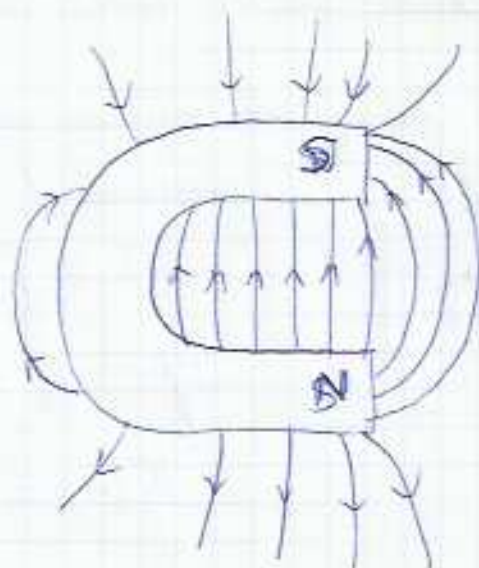
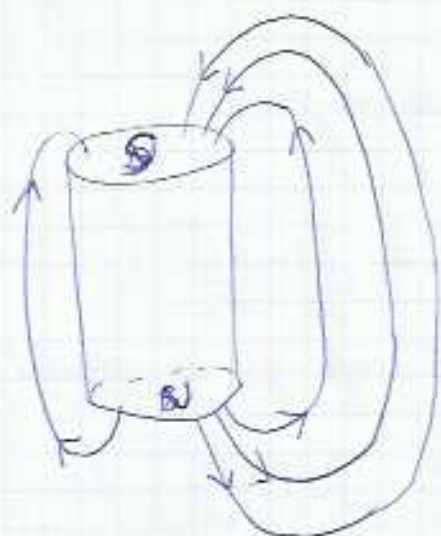
$$[j] = \text{A m}^{-2} = \text{C s}^{-1} \text{ m}^{-2}$$

$$\text{ou } dI = \vec{j} \cdot d\vec{\ell} S$$

$$\text{ou } dI = I d\ell$$

$$\text{soit } \vec{B} = \int_C \frac{\mu_0}{4\pi} \vec{j}(P) \wedge \frac{\vec{P}\pi}{\|\vec{P}\pi\|^3} d\ell$$





solénoïde

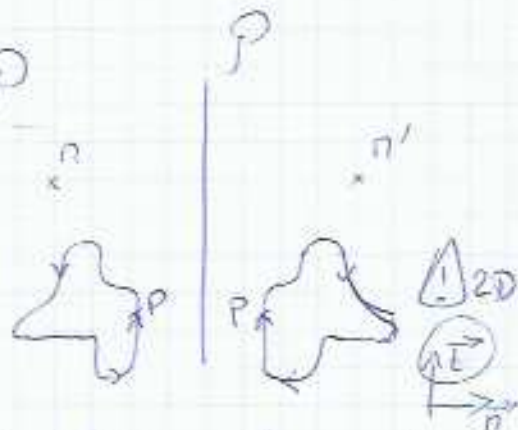
III. 2) Symétries & Invariances

i) Symétrie par rapport à plan P

• distribution de courant symétrique / R

$$\Leftrightarrow \forall P: \mathbf{I}(P') d\vec{\ell}' = \text{Sym}_P(\mathbf{I}(P) d\vec{\ell})$$

si $P' = \text{Sym}_P(P)$



Rem Pour la composante normale de $d\vec{\ell}'/P$, elle est symétrique et orientée à l'opposé / $d\vec{\ell}$.

\Rightarrow comportement \neq que pour la charge

• Pour $P\vec{n}$: on a aussi $P\vec{n}' = \text{Sym}_P(P\vec{n})$

Rem: m comportement que pour calcul de \vec{E} .

$$\cdot \frac{4\pi}{\mu_0} d\vec{B}(\vec{r}) = \mathbf{I} d\vec{\ell}(P) \wedge \frac{P\vec{n}}{\|P\vec{n}\|^3}$$

$$\text{donc } \frac{4\pi}{\mu_0} d\vec{B}(\vec{r}') = \mathbf{I} d\vec{\ell}(P') \wedge \frac{P'\vec{n}'}{\|P'\vec{n}'\|^3}$$

ou nous avons par symétrie P :

$$\begin{cases} \mathbf{I} d\vec{\ell}(P) = d\vec{I}_n + d\vec{I}_t \\ \mathbf{I} d\vec{\ell}(P') = -d\vec{I}_n + d\vec{I}_t \end{cases}$$

Rem $\vec{n} \wedge \vec{n}' = \vec{0}$

$$\vec{E} \wedge \vec{E}' \perp \vec{n} \text{ et } \vec{E} \wedge \vec{n} \in P$$

$$\begin{cases} \frac{P\vec{n}}{\|P\vec{n}\|^3} = \frac{P\vec{n}_n + P\vec{n}_t}{Pn^3} \\ \frac{P'\vec{n}'}{\|P'\vec{n}'\|^3} = \frac{-P\vec{n}_n + P\vec{n}_t}{Pn^3} \end{cases}$$

$$\cdot \text{d'où } \frac{4\pi}{\mu_0} d\vec{B}(\vec{r}) = \underbrace{\frac{-d\vec{I}_n \wedge P\vec{n}_t}{Pn^3} + \frac{-d\vec{I}_t \wedge P\vec{n}_n}{Pn^3}}_{-d\vec{B}_t(\vec{r})} + \underbrace{\frac{d\vec{I}_t \wedge P\vec{n}_t}{Pn^3}}_{+d\vec{B}_n(\vec{r})}$$

• Remarquons par symétrie P : $\vec{E} \rightarrow \vec{E}$ et $\vec{n} \rightarrow -\vec{n}$

c.à.d.: $S_P(d\vec{B}(\vec{r})) = d\vec{B}_t(\vec{r}) - d\vec{B}_n(\vec{r})$

$$\Rightarrow \vec{B}(\vec{r}') = -S_P(\vec{B}(\vec{r}))$$

(confirmation propriété axiale de \vec{B}) Le champ \vec{B} est antisymétrique!

Suite III 2) Symétries

- Si $n \in P$ ($n' = n$) alors $\vec{B}_n(n) = -\vec{B}_n(n) = \vec{0}$
le champ $\vec{B}(n) \perp P$ ~~est orthogonal~~ à P

- Cas d'une antisymétrie / P
on montre alors que $\vec{B}(n') = \mathcal{S}_P(\vec{B}(n))$

\Rightarrow si $n \in P$ alors $\vec{B}_n(n) = -\vec{B}_n(n) = \vec{0}$
alors le champ appartient à P .

- ex: cas du fil et $P \perp$ au fil $\Rightarrow \vec{B} \perp$ fil
antisymétrie

cas du solénoïde infini et $P \parallel$ à l'axe

\Rightarrow plan de symétrie donc champ $\perp P$ et \perp axe

ii) Invariances

+ Translation selon vecteur $\vec{u} \Leftrightarrow I(\vec{r}) = I(\vec{r} + \vec{u})$

- changement de coordonnées dans l'intégrale de Biot & Savart
 $d\vec{l} \rightarrow d\vec{l} + \vec{u}$ ne changeant pas l'intégrale.

• donc \vec{B} ne dépend pas de la coord. suivant \vec{u} .

- ex: fil infini suivant z : $\vec{B}(r, \varphi)$

x

+ Rotation suivant un axe Δ , définissant l'axe azimutal des coord. cylind.

- si $I(r, \theta, z) = I(r, \theta + \alpha, z) \quad \forall \alpha$

$\Rightarrow I(r, z)$ indépendant de θ

- alors \vec{B} ne dépend non-plus de θ : $\vec{B}(r, z)$

- ex du fil suivant z : $\vec{B}(r)$

Suite IV 2) Symétries

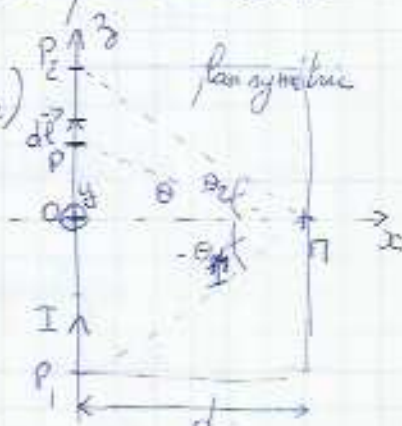
iii) Conclusion sur méthode de calcul du champ.

- 1) analyser les symétries \Rightarrow déduire les var. dont dépend le champ
invariantes (réduire)
- 2) analyser les symétries \Rightarrow déduire l'orientation du champ
- 3) intégrer $\iiint \frac{\vec{J}(\vec{r}) \cdot \vec{r}}{|\vec{r}|^3} d\tau$

~~III~~ 3) Exemple du segment de courant et du champ ou médiatrice

- Symétries (~~invariances~~) $\Rightarrow \vec{B}(r) \perp$ /
- comme $r \in$ ~~axe médian du segment~~, sa position ne dépend que de θ_p donc

$$\vec{B}(n) = B(e_n) \vec{e}_y \quad (\vec{e}_y = \vec{j})$$



- Ici $\oint \vec{J}_1 d\tau$ devient $\int I d\vec{\ell}_1$ où $d\vec{\ell} = dz \vec{e}_z$
avec $z = d \tan \theta$ et $dz = \frac{d}{\cos^2 \theta} d\theta$
 $\vec{P}_M = z \vec{e}_2 + d \vec{e}_1$

$$\vec{PQ} = 3\vec{e}_2 + d\vec{e}_x$$

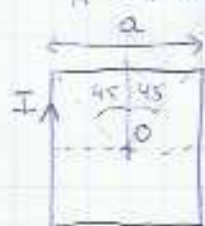
$$\|\vec{Pr}\| = (3^2 + d^2)^{1/2} = \frac{d}{\cos \theta}$$

$$d\vec{r}_1 \cdot \vec{r}_1 = \frac{d^2}{\omega^2 \theta} d\theta \underbrace{(\vec{e}_z + \vec{e}_x)}_{=\vec{e}_y} = \vec{e}_y$$

au final $\vec{B}(r) = \int_{-\theta_1}^{+\theta_2} \frac{\mu_0}{4\pi} I \frac{d^2}{\omega^2 \theta} \frac{1}{\left(\frac{d}{\omega \theta}\right)^{3/4}} d\vec{y} = \int_{-\theta_1}^{+\theta_2} \frac{\mu_0 I}{4\pi d} \omega \theta d\vec{y}$

$$\vec{B}(r) = \frac{\mu_0 I}{4\pi d} (\sin \theta_2 - \sin(-\theta_1)) \vec{e}_y \xrightarrow{\text{Rem rotation}} \vec{e}_y = \vec{e}_y \text{ cor. rotation}$$

x Exemple de la spirale carée, $\vec{B}(0)$



d'après le calcul sur un segment : $\vec{B}_y(z) = \frac{\mu_0 I}{4\pi \frac{a}{2}} 2 \sin \frac{\pi}{4} \vec{e}_y$

$$\vec{B}(0) = 2\sqrt{2} \frac{\mu_0 I}{4\pi a} \hat{e}_y$$

 $\otimes \vec{e}_j$

...

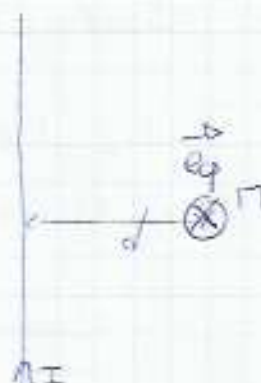
Exemple du fil rectiligne illimité

- cas limite du segment avec $\theta_1, \theta_2 \rightarrow \frac{\pi}{2}$

d'où directement $\vec{B}(\vec{r}) = \frac{\mu_0 I}{2\pi d} \vec{e}_\varphi$

A.N. $B(r) = 0.2 \times 10^{-6} \times \frac{I}{d} = \frac{I(A)}{d(\text{cm})} \times 20 \mu\text{T}$

pour $I = 1\text{A}$, $B = 20 \mu\text{T}$ à 1cm / $2 \mu\text{T}$ à 10cm



Exemple de la spire circulaire, champ sur l'axe

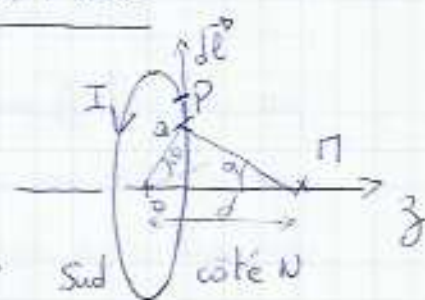
- symétriques
- tout plan \perp spire et contenant Oz
 - est plan d'anti-symétrie $\Rightarrow \vec{B}$ est inclus dans tous

implique que sur Oz : $\vec{B}(r) = B(r) \vec{e}_z$

- Rotation autour de Oz = invariance $\Rightarrow B(r)$ indépendant de θ

- $d\vec{\ell} = a d\theta \vec{e}_\theta$ pour $\theta \in [0, 2\pi]$

- $\vec{rP} = -a \vec{e}_r + d \vec{e}_z$ et $\|\vec{rP}\| = \frac{d-a}{\cos \alpha_{\text{ind}}}$



$$\vec{B}(r) = \int_0^{2\pi} \frac{\mu_0 I}{4\pi} \frac{\sin^3 \alpha}{a} d\theta \vec{e}_z = \frac{\mu_0 I \sin^3 \alpha}{2a} \vec{e}_z$$

on remarque que $\vec{B}(0) = \frac{\mu_0 I}{2a} \vec{e}_z$

Exemple du solénoïde à N spires limité

- chaque spire donne $\vec{B}_i(r) = \frac{\mu_0 I}{2a} \sin^3 \alpha \vec{e}_z$

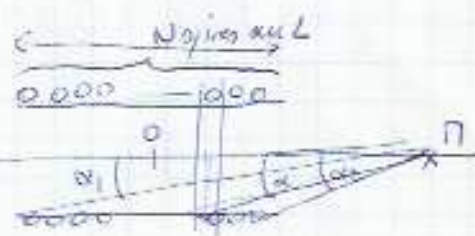
- sur dz on a $\frac{N}{L} dz = dN$ spires

et alors $dB = \frac{\mu_0 I}{2a} \sin^3 \alpha \frac{N}{L} dz$ où $dz = a d\alpha$

- $\frac{dz}{a} = d\left(\frac{1}{\tan \alpha}\right) = \frac{d\alpha}{\sin^2 \alpha}$

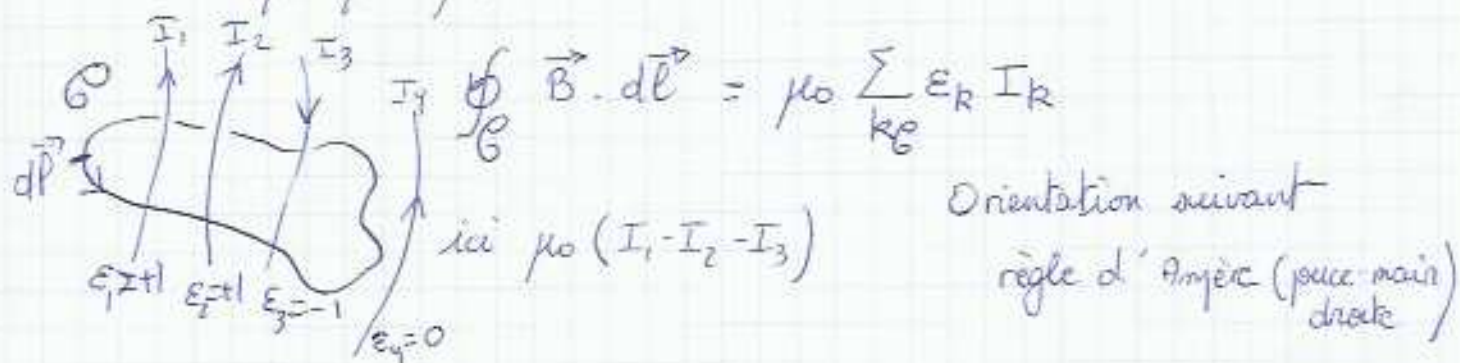
- au total $\vec{B}(r) = \int_{\alpha_1}^{\alpha_2} \frac{\mu_0 I N}{2L} \sin \alpha d\alpha = \frac{\mu_0 I N}{2L} (\cos \alpha_1 - \cos \alpha_2) \vec{e}_z$

au centre: $\alpha_1 = \pi - \alpha_2 = \alpha_0 \Rightarrow \frac{\mu_0 I N}{2L} \cos \alpha_0$



III. 3 Théorème d'Ampèrei) Énoncé

La circulation du champ magnétostatique sur un contour fermé \mathcal{C} orienté quelconque est égale à la somme algébrique des intensités des courants enlacés par le contour \mathcal{C} multiplié par μ_0 .



Comparaison à l'électrostatique : $\int_A^B \vec{E} \cdot d\vec{\ell} = V(B) - V(A)$ car $\vec{E} = -\text{grad } V$

et donc $\oint_C \vec{E} \cdot d\vec{\ell} = 0$ pour tout contour fermé \mathcal{C}
 $\Leftrightarrow \vec{E}$ dérive d'un pot. scalaire.

$\oint_C \vec{B} \cdot d\vec{\ell} \neq 0 \Rightarrow \vec{B}$ ne dérive pas d'un pot. scalaire !
 (en général)

Mais remarquons que si \mathcal{C} n'enlance pas de courant
 alors $\exists V_B$ pot. scalaire / $\vec{B} = -\text{grad } V_B$ sur ce contour.

Pas de démo mais un exemple, fil infini voir vers p22

$\vec{B}(r) = \frac{\mu_0 I}{2\pi r} \vec{e}_\varphi$ où r est la distance de \vec{r} au fil, parcouru par I

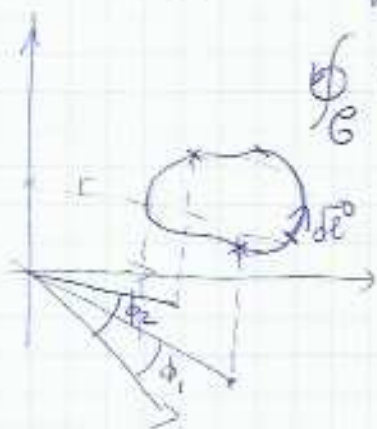
$C = \oint_C \vec{B}(r) \cdot d\vec{\ell}$ où $\vec{B} \cdot d\vec{\ell} = 0$ sauf si $d\vec{\ell} \parallel \vec{e}_\varphi$ sur le contour.
 or $d\vec{\ell} = dr \vec{e}_r + r d\varphi \vec{e}_\varphi + dz \vec{e}_z$

donc $C = \oint_C \frac{\mu_0 I}{2\pi} \frac{r}{r} d\varphi$ comme le contour est fermé $\varphi: 0 \rightarrow 2\pi$

au final $C = \oint_0^{2\pi} \frac{\mu_0 I}{2\pi} d\varphi = \mu_0 I$

* Pour plusieurs fil on somme les \vec{B}
 * Si le fil est en dehors

- si plusieurs fils sont inclus dans le contour C
chaun gène $\vec{B}_i = \frac{\mu_0 I_i}{2\pi r_i} \vec{e}_{\varphi_i}$ où I_i est orienté!
donc chaque circulation abouti à $\epsilon_0 I_i$ (algébrique).
- si un fil est en dehors du contour C



$$\oint_C d\varphi = \int_{\phi_1}^{\phi_2} \frac{\mu_0 I}{2\pi} d\varphi + \int_{\phi_2}^{\phi_1} \frac{\mu_0 I}{2\pi} d\varphi = 0$$

ii) Méthode de calcul du champ magnétique.

- 1) analyse des $\left\{ \begin{array}{l} \text{symétries} \rightarrow \text{orientation de } \vec{B} \\ \text{invariances} \rightarrow \text{dépendances de } \vec{B} \text{ dans les coord.} \end{array} \right.$
- 2) définition d'un contour simple $\left\{ \begin{array}{l} \text{passant par } \Pi \\ B \text{ constant sur le contour.} \\ \vec{B} \parallel d\vec{\ell} \end{array} \right.$
- 3) application M. Ampère $\Rightarrow \vec{B}(\Pi)$

+ Exemple du solénoïde infini droit

• Courant I , rayon a , nombre de spire par unité longueur n axe Oz

• Sur l'axe de sym. Oz on a montré p.e.e.-r.e.s.:

$$\vec{B}(r) = \mu_0 I n \vec{e}_z$$

• Comment calculer $\vec{B}(r)$ en dehors de l'axe?

× symétrie / plan $\perp Oz$ et passant par $P \Rightarrow \vec{B} \perp \text{plan} \Rightarrow \parallel Oz$

× invariance / translation suivant $z \Rightarrow \vec{B}$ indépendant de z

/ rotation d'axe $Oz \Rightarrow \vec{B}$ indépendant de φ

$$\Rightarrow \vec{B}(r) = B(r) \vec{e}_z$$

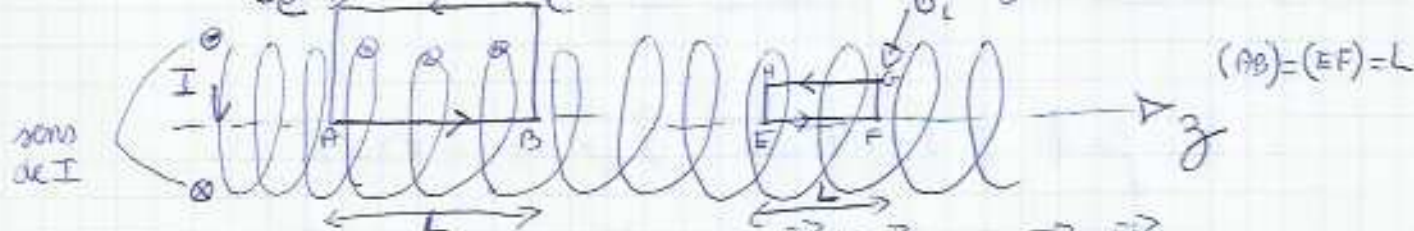
• Choix d'un contour avec soit $d\vec{l} \parallel \vec{e}_z$ soit $d\vec{l} \perp \vec{e}_z$

ligne $\parallel Oz$

ligne $\perp Oz$

\Rightarrow Rectangle

avec au moins une côté sur Oz (où $B \neq \mu_0 I n$)



• sur $BC, DA, FG, HE: d\vec{l} \perp \vec{e}_z \Rightarrow \vec{B} \cdot d\vec{l} = 0$

sur AB et $EF: d\vec{l} = dl \vec{e}_z \Rightarrow \vec{B} \cdot d\vec{l} = B(r) dl$

sur CD et $GH: d\vec{l} = -dl \vec{e}_z \Rightarrow \vec{B} \cdot d\vec{l} = -B(r) dl$

$$\oint_{\mathcal{C}_e} \vec{B} \cdot d\vec{l} = \int_A^B B(r) dl + \int_C^D B(r) dl = \mu_0 I n L - B(r) L$$

$$\text{idem sur } \mathcal{C}_i: \oint \vec{B} \cdot d\vec{l} = \mu_0 I n L - B(r) L$$

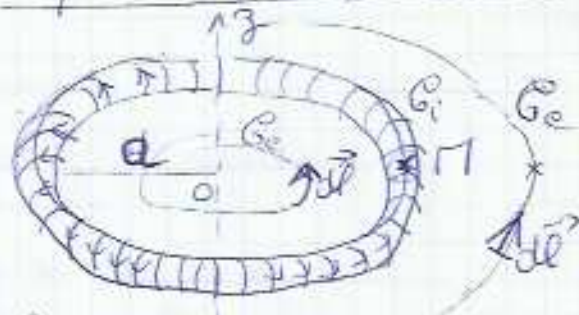
$$\bullet \sum_{k \in \mathcal{C}_e} I_k = L n I \quad \text{et} \quad \sum_{k \in \mathcal{C}_i} I_k = 0$$

.../...

$$\bullet \text{d'où } \mu_0 I n L - B(r > a) L = \mu_0 I n L \Rightarrow \boxed{B(r > a) = 0} \text{ et } \boxed{B(r < a) = \mu_0 I n}$$

+ Exemple du Solénoïde torique, chargé à l'intérieur dans le plan

- N spires enroulées sur un tore de rayon a



- symétrie / tout plan \perp tore contenant Oz

$$\Rightarrow \vec{B}(r) = B(r) \vec{e}_\varphi \quad (\vec{B} \perp \text{plan})$$

- invariance par rotation / $Oz \Rightarrow \vec{B}$ indépendant de φ

$$\left. \begin{array}{l} \vec{B}(r) = B(r) \vec{e}_\varphi \end{array} \right\}$$

- Contour fermé = cercle de centre $O \perp Oz \Rightarrow d\vec{l} = r d\varphi \vec{e}_\varphi$

- Pour Γ à l'extérieur du tore $r < a$ ou $a < r : G_e$

$$\sum_{R \in G_e} I_R = 0 \quad \text{car soit pas de courant : } r < a$$

soit les 2 courant opposés : $a < r$

- Pour Γ dans le tore $r \sim a$

$$\sum_{R \in G_i} I_R = NI$$



- Circulation: $\oint_{\Gamma} \vec{B} \cdot d\vec{l} = B(r) 2\pi r$

- Au final à l'extérieur $\vec{B}(r < a \text{ ou } r > a) = \vec{0}$

$$\text{à l'intérieur } \vec{B}(r \sim a) = \frac{\mu_0 NI}{2\pi a} \vec{e}_\varphi$$

III 9) Potentiel vecteuri) Le flux magnétique - conservation

+ Def: $\phi = \iint_S \vec{B} \cdot d\vec{S}$ flux de B à travers surface S orientée

$$[\phi] = \text{wb, weber} \quad (1 \text{wb} = 1 \text{T} \cdot \text{m}^2) = \text{kg} \cdot \text{A}^1 \cdot \text{s}^{-2} \cdot \text{m}^2 = \text{J} \cdot \text{A}^1 \\ = \text{V} \cdot \text{m}^{-2} \cdot \text{m}^2 = \text{V} \cdot \text{s} = \frac{\text{V} \cdot \text{C}}{\text{A}}$$

+ Exploisons ~~Biot-Savart~~ $\vec{B}(\pi) = \iint_{\mathcal{C}_p} \frac{\mu_0}{4\pi} I \frac{d\vec{\ell} \times \vec{p}\vec{\pi}}{\|\vec{p}\vec{\pi}\|^3} d\ell$

ou alors $\phi = \iint_S \iint_{\mathcal{C}_p} \frac{\mu_0 I}{4\pi} \frac{d\vec{\ell} \times \vec{p}\vec{\pi}}{\|\vec{p}\vec{\pi}\|^3} \cdot d\vec{S} = \frac{\mu_0 I}{4\pi}$

+ D'après th. Green-Ostrogradsky: $\phi = \iiint_{V_p} \text{div } \vec{B} d\tau$
 où V_p un volume qui s'appuie sur S fermée
 $\Rightarrow \text{div } \vec{B}?$ E bien noter que maintenant S est fermée

+ Reprenons Biot-Savart: $\vec{B}(\pi) = \iiint_{V_p} \frac{\mu_0}{4\pi} \frac{\vec{J}(p) \times \vec{p}\vec{\pi}}{\|\vec{p}\vec{\pi}\|^3} d\tau(p)$
 où V_p volume où courent $\vec{J}(p) \neq \vec{0}$

• Calcul de $\text{div } \vec{B}(\pi)$ où opérateur agit sur coord. de π et pas de p ,
 c'est à dire: $\text{div} \iiint_{V_p} (\vec{J} d\tau(p)) = \iiint_{V_p} \text{div}(\vec{J}) d\tau(p)$

• Or $\text{div} \left(\vec{J} \times \frac{\vec{p}\vec{\pi}}{\|\vec{p}\vec{\pi}\|^3} \right) = \frac{\vec{p}\vec{\pi}}{\|\vec{p}\vec{\pi}\|^3} \cdot \underbrace{\text{rot } \vec{J}(p)}_{\vec{0} \text{ puisque rot agit sur } \vec{J} \text{ et pas sur } p} - \vec{J}(p) \cdot \underbrace{\text{rot } \frac{\vec{p}\vec{\pi}}{\|\vec{p}\vec{\pi}\|^3}}_{\vec{0} \text{ puisque rot agit sur } \vec{p} \text{ et pas sur } p}$

• Nous avons également $\left[\underbrace{\text{grad}}_{\vec{n}} \frac{1}{\|\vec{p}\vec{\pi}\|^3} = \frac{\vec{p}\vec{\pi}}{\|\vec{p}\vec{\pi}\|^3} \right] \left(\text{cal. } \frac{\partial \sqrt{x^2+y^2+z^2}}{\partial x} = \frac{-x}{r^3} \right)$

• d'où $\text{div } \vec{B}(\pi) = \iiint_{V_p} -\frac{\mu_0}{4\pi} \vec{J} \cdot \text{rot} \left(\underbrace{\text{grad}}_{\vec{n}} \frac{1}{\|\vec{p}\vec{\pi}\|^3} \right) d\tau$

$\text{div } \vec{B}(\pi) = 0$ car $\text{rot grad } V = 0 \quad \forall V$

+ version locale de l'intégral: $\phi = \iint_S \vec{B} \cdot d\vec{S} = 0 \dots / \dots$

Par comparaison avec l'électrostatique :

$$\text{où } \oint_S \vec{E} \cdot d\vec{S} = \frac{Q_{\text{int}}}{\epsilon_0}$$

l'eq^o $\oint_S \vec{B} \cdot d\vec{S} = 0$ indique l'absence de "charge" magnétique (monopôle)

SVT BREVET



La paroi des 200 ans

l'apparition de la vie sur Terre

depuis 140 m¹⁰ d'années

des formes de vie les plus primitives (bactéries) aux éucaryotes

→ photosynthèse = les végétaux nettoient l'air de CO₂ et rejettent O₂ + transpirent le carbone en glucose pour sa nutrition

l'oxygène libre est l'occasion pour la vie de se développer

→ les invertébrés (les corail et les méduses) ont ces formes de vie, elles n'ont pas évoluées / contrairement aux vertébrés qui ont évolué

Population : ensemble d'individus de la même espèce qui occupent un territoire géographique

ii) le potentiel vecteur et la invariance de jauge

+ Si $\text{div } \vec{B} = 0$ alors $\exists \vec{A} / \vec{B} = \text{rot } \vec{A}$
 en effet $\forall \vec{n}, \text{div}(\text{rot } \vec{A}) = 0$

+ \vec{A} est le potentiel vecteur $[A] = T \cdot m'$
 \rightarrow joue rôle "similaire" à V (scalaire) pour $\vec{E} = -\text{grad } V$

+ Remarquons que si $\vec{A}' = \vec{A} + \text{grad } \psi$ où ψ pt. scalaire
 comme $\text{rot grad} = \vec{0}$
 alors on a aussi $\vec{B} = \text{rot } \vec{A}'$!

$\Rightarrow \exists$ une infinité de pt. vecteur possibles pour un champ \vec{B}
 \Leftrightarrow invariance de jauge

+ Ex du chp uniforme $\vec{B} = B \vec{u}_y$

alors $\begin{cases} \frac{\partial A_z}{\partial y} - \frac{\partial A_y}{\partial z} = 0 \\ \frac{\partial A_x}{\partial z} - \frac{\partial A_z}{\partial x} = 0 \\ \frac{\partial A_y}{\partial x} - \frac{\partial A_x}{\partial y} = B \end{cases}$ vérifiées par $\vec{A}_1 = \begin{pmatrix} -yB \\ 0 \\ 0 \end{pmatrix}$
 $\vec{A}_2 = \begin{pmatrix} 0 \\ -xB \\ 0 \end{pmatrix}$
 $\vec{A}_3 = \begin{pmatrix} -\frac{y}{2}B \\ -\frac{x}{2}B \\ 0 \end{pmatrix}$

+ 2nd exemple au des ... / ...

+ jauges usuelles

• Coulomb $\text{div } \vec{A} = 0$

• Lorentz $\text{div } \vec{A} + \mu_0 \epsilon_0 \frac{\partial V}{\partial t} = 0$ où V potentiel scalaire
 On remarque qu'on sort de la statique

+ Revenons sur le flux de \vec{B} à travers surf fermée \mathcal{L}

$$\phi = \oint_{\mathcal{L}} \vec{B} \cdot d\vec{S} = \oint_{\mathcal{L}} \text{rot } \vec{A} \cdot d\vec{S}$$

avec th. de Stokes: $\oint_{\mathcal{L}} \text{rot } \vec{A} \cdot d\vec{S} = \oint_C \vec{A} \cdot d\vec{\ell}$

+ Revenons sur le flux de \vec{B} à travers surface \mathcal{S} (pas fermée)

$$\phi = \iint_{\mathcal{S}} \vec{B} \cdot d\vec{S} = \iint_{\mathcal{S}} \text{rot } \vec{A} \cdot d\vec{S} = \oint_C \vec{A} \cdot d\vec{\ell}$$

d'après Th. Stokes

• c.à.d. ϕ = circulation de \vec{A} sur C au lequel s'appuie \mathcal{S}

• cohérent avec $\phi_{\mathcal{S}_{\text{fermé}}} = \oint_C \vec{A} \cdot d\vec{\ell} = 0$

+ Exple de calculs de \vec{B} à partir de \vec{A} .

• $\vec{A} = A_0 \vec{u}_r$, $\vec{B} = \text{rot}(A_0 \vec{u}_r) = \vec{0}$ car A_0 est une cste indépendante de r

• $\vec{A} = A_0 r \vec{u}_\varphi$, $\vec{B} = \frac{1}{r} A_0 \vec{u}_z$

• $\vec{A} = A_0 \vec{u}_z$, $\vec{B} = \vec{0}$

• $\vec{A} = A_0 \frac{r_0}{r} \vec{u}_\varphi$, $\vec{B} = \frac{A_0 r_0}{r^2} \vec{u}_\varphi$

Rappel en cylindrique:

$$\vec{\nabla} = \frac{\partial}{\partial r} \vec{u}_r + \frac{1}{r} \frac{\partial}{\partial \varphi} \vec{u}_\varphi + \frac{\partial}{\partial z} \vec{u}_z$$

et finalement $\vec{\nabla} \cdot \vec{A} = \frac{1}{r} \frac{\partial}{\partial r} (r A_r) + \frac{1}{r} \frac{\partial A_\varphi}{\partial \varphi} + \frac{\partial A_z}{\partial z}$

Cet Highlighter vous sera très utile à une Top Model !

Avec Tetralat, faites au naturel !

iii) def potentiel vecteur avec les courants

+ d'après Biot-Savart pour une densité de courant $\vec{j} / j d\tau \Leftrightarrow I d\vec{\ell}$

$$\vec{B}(\vec{r}) = \iiint_V \frac{\mu_0}{4\pi} \vec{j}(\vec{r}') \wedge \frac{\vec{r} - \vec{r}'}{\|\vec{r} - \vec{r}'\|^3} d\tau'$$

• En utilisant $\text{grad}\left(-\frac{1}{\|\vec{r} - \vec{r}'\|}\right) = \frac{\vec{r} - \vec{r}'}{\|\vec{r} - \vec{r}'\|^3}$ \triangleq grad agit sur \vec{r} (pas sur \vec{r}')

c. a. d. $\vec{j}(\vec{r}') \wedge \text{grad}\left(-\frac{1}{\|\vec{r} - \vec{r}'\|}\right) = \text{grad}\left(\frac{1}{\|\vec{r} - \vec{r}'\|}\right) \wedge \vec{j}(\vec{r}')$

• On utilise aussi $\vec{\text{rot}}(f(\vec{r}) \vec{j}(\vec{r})) = f(\vec{r}) \underbrace{\vec{\text{rot}} \vec{j}(\vec{r})}_{=0} + \text{grad} f(\vec{r}) \wedge \vec{j}(\vec{r})$

• ainsi: $\vec{B}(\vec{r}) = \frac{\mu_0}{4\pi} \iiint_V \vec{\text{rot}}\left(\frac{\vec{j}(\vec{r}')}{\|\vec{r} - \vec{r}'\|}\right) d\tau' = \vec{\text{rot}}\left(\frac{\mu_0}{4\pi} \iiint_V \frac{\vec{j}(\vec{r}')}{\|\vec{r} - \vec{r}'\|} d\tau'\right)$
↑
intégrale sur \vec{r}' (pas sur \vec{r})

+ Par identification avec la relat[°] $\vec{B} = \vec{\text{rot}} \vec{A}$ on obtient:

$$\boxed{\vec{A}(\vec{r}) = \frac{\mu_0}{4\pi} \iiint_V \frac{\vec{j}(\vec{r}')}{\|\vec{r} - \vec{r}'\|} d\tau'}$$

Conséquence importante/calcul
 $\vec{A}(\vec{r})$ partage les mêmes symétries que $\vec{j}(\vec{r})$.
 voir au des.../...

+ Pour un circuit (filaire) parcouru par une intensité I

$$\iiint \vec{j} d\tau \Leftrightarrow \oint_C I d\vec{\ell} \quad \text{où } d\vec{\ell} \text{ est le déplacement élémentaire sur } C \text{ en } P$$

$$\text{soit } \vec{A} = \oint_C \frac{\mu_0 I}{4\pi} \frac{d\vec{\ell}(\vec{r}')}{\|\vec{r} - \vec{r}'\|}$$



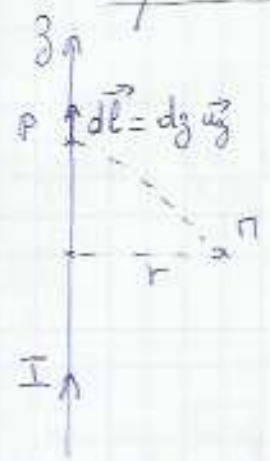
+ Remarque: l'expression de \vec{A} est très similaire à celle du potentiel électrostatique (p4)

$$V(\vec{r}) = \iiint_V \frac{1}{4\pi\epsilon_0} \frac{\rho(\vec{r}')}{\|\vec{r} - \vec{r}'\|} d\tau'$$

où $\rho(\vec{r}) \Leftrightarrow \vec{j}(\vec{r})$!
 et $\frac{1}{4\pi\epsilon_0} \Leftrightarrow \frac{\mu_0}{4\pi}$

[ex/les] ... / ...

Exple du fil rectiligne parcouru par I uniforme



- On passe en coord. cylindriques, on symétrise de \vec{J} .
- le calcul explicite est: $\vec{A} = A(r) \vec{u}_z$

$$\vec{A} = \int \frac{\mu_0 I}{4\pi} \frac{dz}{\sqrt{r^2 + z^2}} \vec{u}_z \text{ un peu compliqué}$$

- On utilise la similitude avec l'électrostatique pour un fil uniformément chargé avec $\lambda = \text{cte} \Rightarrow \vec{E} = E(r) \vec{u}_r$
 $V = V(r)$

Rem on peut utiliser Th. Ampère
 $\vec{B}(r) = \frac{\mu_0 I}{2\pi r} \vec{u}_\phi$ sur un cercle vertical
 puis $\vec{B}(r) = \text{rot} \vec{A}(r) = \frac{\partial A}{\partial r} \vec{u}_\phi$
 ou $\oint \vec{A}(r) d\vec{\ell} = \iint \vec{B} \cdot d\vec{S}$

Alors avec Th. Gauss on a $E(r) 2\pi r = \frac{\lambda}{\epsilon_0}$
 soit $\frac{dV(r)}{dr} = - \frac{\lambda}{2\pi \epsilon_0 r} \Rightarrow V(r) = - \frac{\lambda}{2\pi \epsilon_0} \ln r + \text{cte}$

on a $\vec{A}(r) = \left(- \frac{\mu_0 I}{2\pi} \ln r + \text{cte} \right) \vec{u}_z$

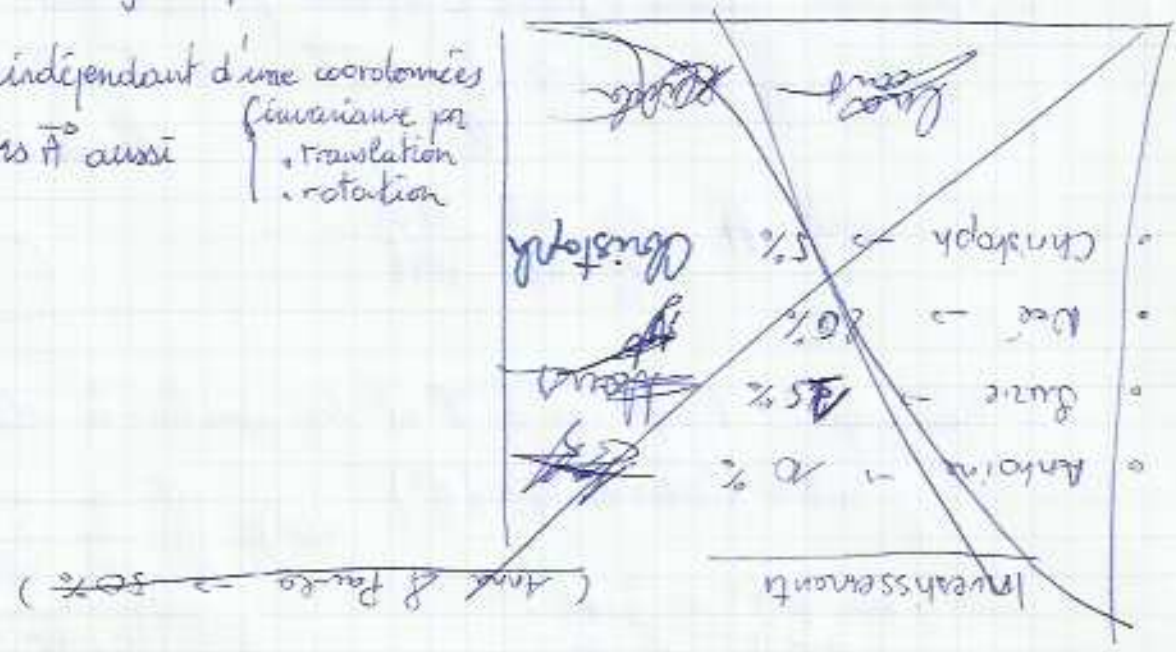
- On retrouve le champ magnétique avec

$$\text{rot} \vec{A}(r) = + \frac{\mu_0 I}{2\pi r} \vec{u}_\phi \quad (\text{cf p 22 verso})$$

2nd Exple sur feuilles 28bis/

Symétrie & Invariance de \vec{A} et \vec{J}

- si \vec{J} symétrique / plan P , alors pour $n \in P$: $\vec{A}(n) \in P$
- si \vec{J} antisymétrique / plan P , alors pour $n \in P$: $\vec{A}(n) \perp P$
- si \vec{J} indépendant d'une coordonnée
alors \vec{A} aussi $\left\{ \begin{array}{l} \text{invariance par} \\ \cdot \text{translation} \\ \cdot \text{rotation} \end{array} \right.$





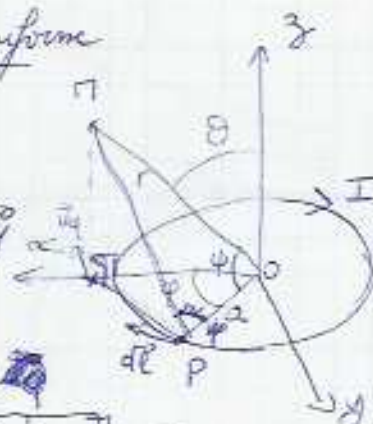
Serie III 3 Potentiel vecteur

Exple de la spire parcourue par un courant I uniforme

- * Analyse symétrie de \vec{j} : Invariante par rotation Oz
Antisymétrique par rotation Ox et Oy
 $\Rightarrow A$ ne dépend pas de φ et est orienté suivant \vec{u}_φ

- * Coord. sphériques:

$$\vec{A}(\vec{r}) = \int_{\text{spire}} \frac{\mu_0 I}{4\pi} \frac{d\vec{\ell}}{\|\vec{r} - \vec{\ell}\|} \quad \text{où} \quad \begin{cases} \|d\vec{\ell}\| = a d\varphi \\ \|\vec{r} - \vec{\ell}\| = \sqrt{r^2 + a^2 - 2ra \cos\psi} \end{cases}$$



- * On calcule uniquement la composante \vec{u}_φ : $d\vec{\ell} \rightarrow a d\varphi \cos\psi \vec{u}_\varphi$

- * On suppose que $r \gg a$: $\|\vec{r} - \vec{\ell}\| = r \sqrt{1 + \frac{a^2}{r^2} - 2\frac{a}{r} \cos\psi} \approx r (1 - \frac{a}{r} \cos\psi)$

Remarquons que $\cos\psi = \sin\theta \cos\varphi$ (voir au des ... / ...)

- * Alors: $\vec{A}(\vec{r}) \approx \frac{\mu_0 I}{4\pi r} \int_0^{2\pi} \frac{\cos\varphi d\varphi \vec{u}_\varphi}{1 - \frac{a}{r} \cos\psi} \approx \frac{\mu_0 I a}{4\pi r} \int_0^{2\pi} \cos\varphi (1 + \frac{a}{r} \cos\psi) d\varphi$

! \vec{u}_φ associé à $P(x,y)$
 $\neq \vec{u}_\theta$ associé à \vec{r}

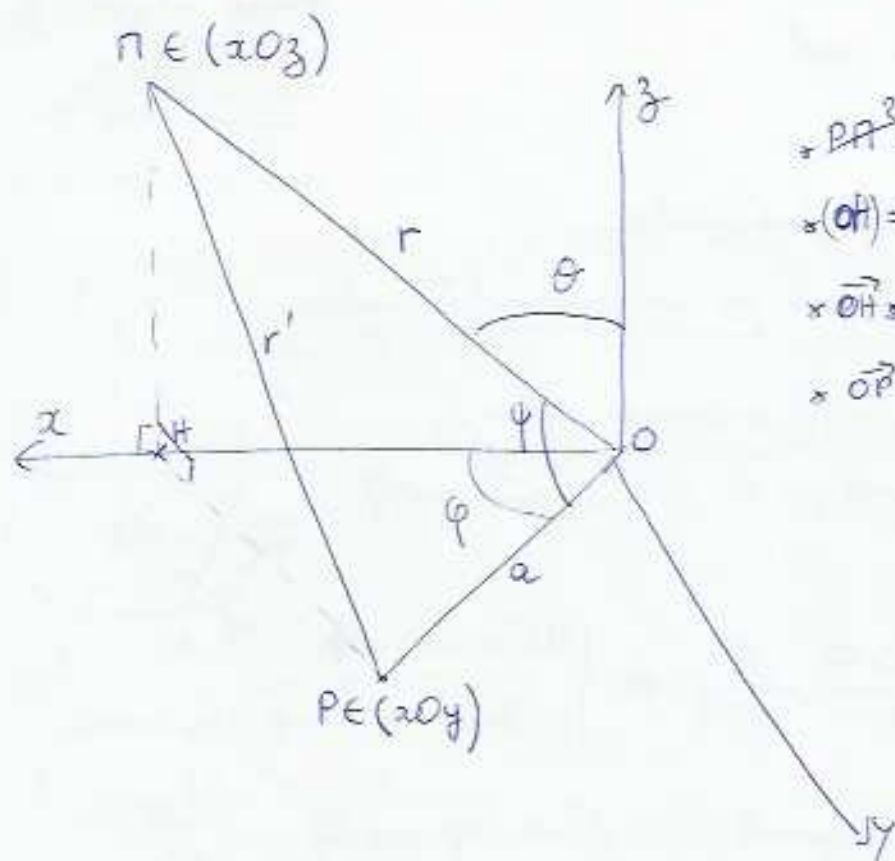
$$\vec{A}(\vec{r}) = \frac{\mu_0 I a^2}{4\pi r^2} \int_0^{2\pi} \cos^2\varphi d\varphi \vec{u}_\varphi = \frac{\mu_0 I a^2}{4 r^2} \vec{u}_\varphi$$

- * Remarquons que $\vec{r} \otimes \vec{A} = \begin{vmatrix} \frac{\partial}{\partial r} & 0 & \vec{u}_r \\ \frac{1}{r} \frac{\partial}{\partial \theta} & 1 & \vec{u}_\theta \\ \frac{1}{r \sin\theta} \frac{\partial}{\partial \varphi} & \frac{\mu_0 I a^2 \sin\theta}{4 r^2} & \vec{u}_\varphi \end{vmatrix}$

- * Calcul de \vec{B} avec $\vec{r} \otimes \vec{A} = \frac{1}{r^2 \sin\theta} \frac{\partial (r \sin\theta A_\varphi)}{\partial \theta} \vec{u}_r - \frac{\partial (r A_\varphi)}{\partial r} \vec{u}_\theta$

$$\text{où } \frac{\partial (r \sin\theta A_\varphi)}{\partial \theta} = \frac{\mu_0 I a^2}{4 r} 2 \sin\theta \cos\theta \text{ et } \frac{\partial (r A_\varphi)}{\partial r} = -\frac{\mu_0 I a^2}{4 r^2} \sin\theta$$

$$\vec{B}(\vec{r}) = \frac{\mu_0 I a^2}{4 r^3} (2 \cos\theta \vec{u}_r + \sin\theta \vec{u}_\theta)$$



~~$$r^2 = a^2 + r'^2 - 2ar \cos \psi$$~~

$$r \sin \theta = a$$

$$\vec{r} \cdot \vec{r}' = (r \sin \theta) a \cos \psi = r a \cos \psi$$

$$\vec{r} \cdot \vec{r}' = (r \sin \theta) a \cos \psi = r a \cos \psi$$

III 5) Formulation locale de la magnétostatique

+ Revenons sur le th. d'Ampère pour un contour fermé C

$$\oint_C \vec{B} \cdot d\vec{\ell} = \mu_0 \sum_{k \in C} \epsilon_k I_k$$

* nous introduisons une nouvelle façon de calculer la somme de l'ensemble des courants avec la densité de courant traversant la surface S_C qui s'appuie sur C : \vec{J}

c.à.d. $\sum_{k \in C} \epsilon_k I_k = \iint_{S_C} \vec{J} \cdot d\vec{S}$

Rem rappeler que $[\vec{J}] = A \cdot m^{-2}$



* Avec le th. de Stokes: $\oint_C \vec{B} \cdot d\vec{\ell} = \iint_{S_C} \vec{\text{rot}} \vec{B} \cdot d\vec{S}$

* Au final: $\iint_{S_C} \vec{\text{rot}} \vec{B} \cdot d\vec{S} = \mu_0 \iint_{S_C} \vec{J} \cdot d\vec{S} \quad \forall S_C$

soit $\boxed{\vec{\text{rot}} \vec{B} = \mu_0 \vec{J}}$ expression locale équivalente à $\text{div} \vec{E} = \frac{\rho}{\epsilon_0}$

Équation d'Ampère

+ En utilisant le potentiel vecteur: $\vec{B} = \vec{\text{rot}} \vec{A}$

et aussi le fait que $\vec{\text{rot}}(\vec{\text{rot}} \vec{A}) = \vec{\text{grad}}(\text{div} \vec{A}) - \nabla^2 \vec{A}$

où $\nabla^2 \vec{A}$ est le Laplacien vectoriel (!) (cf. postérieure)

et la jauge de Coulomb $\text{div} \vec{A} = 0$
on a

$$\boxed{\nabla^2 \vec{A} = -\mu_0 \vec{J}}$$

correspond à 3 équations (1 par coord)
équale à eq⁰ Poisson, pour cartésien:

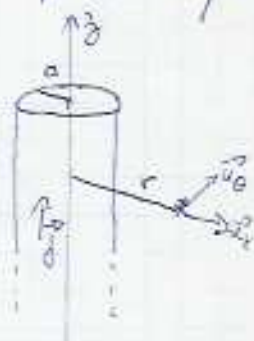
$$\nabla^2 A_{xi} = -\mu_0 j_{xi}$$

Rem en coord cartésiennes:

$$\nabla^2 \vec{A} \Leftrightarrow \begin{cases} \nabla^2 A_x = -\mu_0 j_x \\ \nabla^2 A_y = -\mu_0 j_y \\ \nabla^2 A_z = -\mu_0 j_z \end{cases}$$

Suite III.5 Magnéto Statique /

+ Exemple d'un fil d'extension non nulle avec courant constant.



* rayon a , courant $\vec{J}(r < a) = \frac{I}{\pi a^2} \vec{u}_z$

* Pour $r < a$: $\vec{\text{rot}} \vec{B} = \mu_0 \vec{J} = \frac{\mu_0 I}{\pi a^2} \vec{u}_z$

* par symétrie $\Rightarrow \vec{B}(\vec{r}) = B_\theta(r) \vec{u}_\theta$

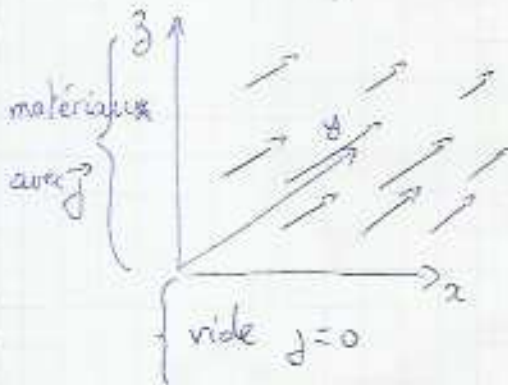
* d'où $\vec{\text{rot}} \vec{B} = \frac{\partial B_\theta}{\partial r} \vec{u}_z$

et $\frac{\partial B_\theta}{\partial r} = \frac{\mu_0 I}{\pi a^2} \Rightarrow \vec{B}(r < a) = \frac{\mu_0 I}{\pi a^2} r \vec{u}_\theta$

* on a aussi $\vec{B} = \vec{\text{rot}} \vec{A} = \frac{\partial A_\theta}{\partial r} \vec{u}_\theta$ par symétrie de $\vec{A}(r)$

soit $\frac{\partial A_\theta}{\partial r} = \frac{\mu_0 I}{\pi a^2}$ et $\vec{A}_c = -\frac{\mu_0 I}{\pi 2 a^2} r^2 \vec{u}_\theta$

* Exemple d'une nappe de courant dans un plan:



$\vec{J} = J_s e^{-\lambda z} \vec{u}_y$ [λ] = m⁻¹ constante / $\frac{1}{\lambda}$ = longueur de peau

* Symétrie / plan // (yoz) $\Rightarrow \vec{B} \perp (yoz) \Rightarrow$ suivant \vec{u}_x

* Invariance / translation $\vec{u}_y \Rightarrow \vec{B}$ indépendant de y

$\Rightarrow \vec{B}(y > 0) = B_x(z) \vec{u}_x$

* $\vec{\text{rot}} \vec{B} = \begin{vmatrix} \frac{\partial}{\partial x} & \frac{\partial}{\partial y} & \frac{\partial}{\partial z} \\ 0 & 0 & 0 \\ 0 & 0 & 0 \end{vmatrix} = \begin{vmatrix} 0 & 0 & 0 \\ \frac{\partial}{\partial z} B_x(z) & 0 & 0 \\ 0 & 0 & 0 \end{vmatrix} \Rightarrow \frac{\partial B_x(z)}{\partial z} = \mu_0 J_s e^{-\lambda z}$

* soit $\vec{B}(z > 0) = -\frac{\mu_0 J_s}{\lambda} e^{-\lambda z} \vec{u}_x$

III. 5) Énergie magnétique

+ Revenons sur le flux magnétique et son unité:

$$[\Phi] = W = J \cdot A^{-1} \Rightarrow [\Phi], [I] = J \text{ une énergie}$$

+ Nous montrerons que l'énergie magnétique U_m est:
(après introduction de l'inductance)

$$U_m = \frac{1}{2} \Phi I \quad \text{Pour un champ magnétique traversant un circuit avec un courant } I$$

+ Interprétation (rappelons que F_{Lorentz} ne travaille pas!) .../...
La sur une charge "externe" à J
 U_m est l'énergie "stockée" emmagasinée dans le circuit.
Si le champ est annulé, il y aura une déformation ^{mécanique} brutale du circuit pour libérer cette énergie. ou échauffement

+ Rappelons que $\Phi = \iint_{S_{\text{circuit}}} \vec{B} \cdot d\vec{S} = \oint_C \vec{A} \cdot d\vec{\ell}$
par le circuit fermé C

$$\text{d'où } U_m = \frac{1}{2} \oint_C \vec{A} \cdot I d\vec{\ell} \quad \text{avec } \int I d\vec{\ell} \Leftrightarrow \iiint_V \vec{J} \cdot d\vec{\tau}$$

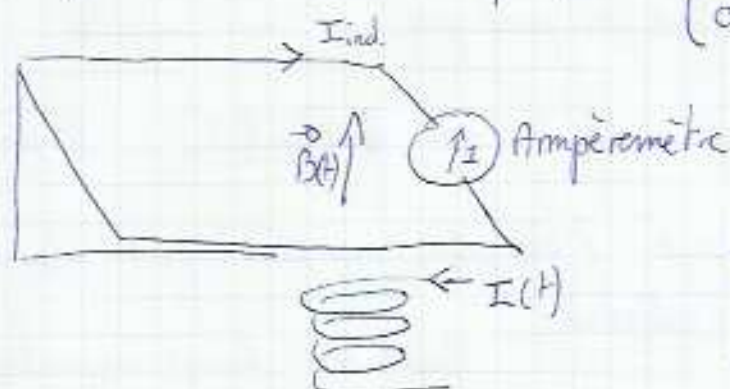
$$\text{soit } \boxed{U_m = \frac{1}{2} \iiint_V \vec{A} \cdot \vec{J} d\tau}$$

+ Avec l'éq^{te} d'Ampère: $\vec{\text{rot}} \vec{B} = \mu_0 \vec{J}$ et le fait que
 $\vec{A} \cdot \vec{\text{rot}} \vec{B} = \vec{B} \cdot \vec{\text{rot}} \vec{A} = \vec{B}^2$

$$\text{on a } \boxed{U_m = \frac{1}{2\mu_0} \iiint_V \vec{B}^2 d\tau}$$

.../...

- * Expérience de Faraday pour $\begin{cases} \text{circuit fermé indéformable} \\ \text{champ magnétique variable} \end{cases}$



si I, \vec{B} constants $\Rightarrow I_{ind} = 0$

si I, \vec{B} varient avec $t \Rightarrow I_{ind} \neq 0$

- * On remarque que le sens du courant induit s'oppose au champ inducteur \vec{B} (dans le sens où \vec{B}_{ind} créé par I_{ind} est de sens opposé à \vec{B})

* On remarque que l'amplitude de I_{ind} dépend de la surface.

- * Le circuit étant résistif (R) \Rightarrow création d'une différence de potentiel

$\Delta V = R I_{ind}$ que Faraday a appelé (hijacinement) force électromotrice

- * Comment relier \vec{B} avec le temps à ΔV ?
la variation de

$$\left. \begin{array}{l} [\Delta V] = V \\ \left[\frac{\partial \vec{B}}{\partial t} \right] = T \cdot s^{-1} = V \cdot s \cdot m^{-2} \cdot s^{-1} \\ [S] = m^2 \end{array} \right\} \Delta V = - \iint_S \frac{\partial \vec{B}}{\partial t} \cdot d\vec{S} = - \frac{d\Phi}{dt}$$

- * Remarque pour chap IV (Maxwell)

- Une différence de potentiel (la f.e.m.) est équivalente à la circulation du champ sur le circuit :

$$\vec{E} = -\vec{\nabla} V \Rightarrow \Delta V = \oint_C \vec{E} \cdot d\vec{\ell}$$



IV Formulation locale des lois de l'électromagnétisme

1) Conservation de la charge électrique

- + Postulat physique imposé par les observations
 → de fait, aujourd'hui, aucune remise en cause de ce principe.
 (même avec les interactions fondamentales)
- + Mais un courant est un déplacement de charges dans l'espace et le temps.
 ⇒ la densité de charge ρ peut dépendre de $\left\{ \begin{array}{l} \text{la position : } \rho(\vec{r}, t) \\ \text{le temps} \end{array} \right.$

d'où Question : quel est le lien entre \vec{J} et ρ ?

- + Prenons un volume V_S défini par une surface fermée S qq.

* charge totale : $q = \iiint_{V_S} \rho(\vec{r}, t) d\tau$

* variation sur dt ?

• $dq = \frac{\partial q}{\partial t} dt$ avec $\frac{\partial q}{\partial t} = \iiint_{V_S} \frac{\partial \rho}{\partial t} d\tau$ (Noter indépendance $d\tau$ et dt)

• par définition de la densité volumique de courant \vec{J} ($A \cdot m^2$)
 $-dq = \left(\oint_S \vec{J} \cdot d\vec{S} \right) dt$ où $\oint_S \vec{J} \cdot d\vec{S}$ est le flux de charges à travers S
 { il s'agit d'une perte ⇒ signe \ominus

* Par égalité on a

$$0 = \iiint_{V_S} \frac{\partial \rho}{\partial t} d\tau + \oint_S \vec{J} \cdot d\vec{S} = \iiint_{V_S} \left(\frac{\partial \rho}{\partial t} + \text{div } \vec{J} \right) d\tau \quad \forall V_S, S$$

C'est la conservation de la charge, d'un point de vue intégral.

* Localement :

$$\boxed{\text{div } \vec{J} + \frac{\partial \rho}{\partial t} = 0}$$



Suite IV.1)

- + Définition du régime permanent $\Leftrightarrow \frac{\partial \rho}{\partial t}(\vec{r}, t) = 0$
 c.à.d. la densité de charges n'évolue pas dans le temps
 Mais les charges peuvent être en mouvement $\rightarrow I, \vec{j}$ non nuls!

x localement on a $\text{div } \vec{j} = 0$

x Point de vue intégral :

- prenons une distribution \vec{j} et une surface fermée $S = S_i + S_e + S_f$
 où $d\vec{S}(S_e) \perp \vec{j}$



- la conservation de la charge impose : $\frac{\partial q_1}{\partial t} = - \frac{\partial q_2}{\partial t} = \oint_S \vec{j} \cdot d\vec{S}$
 soit : ce qui entre, sort!

$$\oint_{S_i + S_e + S_f} \vec{j} \cdot d\vec{S} = \oint_{S_f} \vec{j} \cdot d\vec{S} + \underbrace{\oint_{S_e} \vec{j} \cdot d\vec{S}}_{=0 \text{ car } \vec{j} \perp d\vec{S}} + \oint_{S_i} \vec{j} \cdot (-d\vec{S}) = 0$$

↑
orientation
de S_i vers l'extérieur

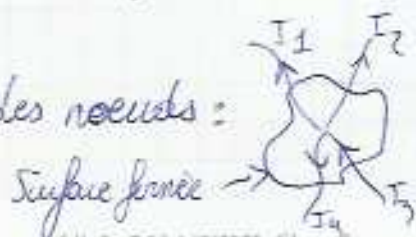
par déf: $\oint_{S_f} \vec{j} \cdot d\vec{S} = I_f$ et $\oint_{S_i} \vec{j} \cdot d\vec{S} = I_i$

• $\text{div } \vec{j} = 0 \Leftrightarrow I_i = I_f$

x 2 conséquences

- la ~~loi~~ $\text{div } \vec{j} = 0$ indique que le flux de \vec{j} est conservé
 d'une surface à l'autre : indépendant du contour
 sur lequel s'appuie S !

- loi des nœuds : $\oint_S \vec{j} \cdot d\vec{S} = 0 = I_1 + I_2 - I_3 + I_4$



10th ICATPP Conference on

Astroparticle, Particle, Space Physics, Detectors and Medical Physics Applications

Villa Olmo, 8-12 October, 2007



IV. 2) Retour sur (l'électrostatique) les propriétés locales du chp électrique

+ Le lien entre les sources (charges ρ) et le champ (\vec{E}) est donné par:

$$\left\{ \begin{array}{l} \text{Th. Gauss: } \oint_S \vec{E} \cdot d\vec{S} = \frac{Q_S}{\epsilon_0} \\ \text{ou} \\ \text{Loi Gauss: } \text{div } \vec{E} = \frac{\rho}{\epsilon_0} \Rightarrow \text{eq. Poisson } \nabla^2 V = -\frac{\rho}{\epsilon_0} \end{array} \right.$$

+ Propriété intrinsèque: le champ dérive d'un potentiel scalaire
 or si $\vec{E} = -\text{grad } V$, comme $\text{rot}(\text{grad } \phi) = \vec{0} \forall \phi \text{ scalaire}$

$$\text{alors } \left\{ \begin{array}{l} \text{rot } \vec{E} = \vec{0} \quad \text{loi} \\ \text{ou} \\ \oint_C \vec{E} \cdot d\vec{\ell} = 0 \quad \left(\begin{array}{l} \text{via } \oint_C \text{rot } \vec{E} \cdot d\vec{S} = 0 \\ \text{ou } \int_a^b \vec{E} \cdot d\vec{\ell} = V_A - V_B \end{array} \right) \end{array} \right.$$

IV. 3) Retour sur les propriétés locales du chp magnétique

+ Le lien entre les sources (courants \vec{J}) et le champ (\vec{B}) est donné par:

$$\left\{ \begin{array}{l} \text{Th. Ampère: } \oint_C \vec{B} \cdot d\vec{\ell} = \int_S \vec{J} \cdot d\vec{S} \\ \text{Loi Ampère: } \text{rot } \vec{B} = \mu_0 \vec{J} \Rightarrow \text{eq. de "Poisson"} \nabla^2 \vec{A} = -\mu_0 \vec{J} \end{array} \right.$$

+ Propriété intrinsèque: le champ dérive d'un pot. vecteur
 ($\text{div } \text{rot } \vec{A} = 0, \forall \vec{A} \text{ vecteur}$)

$$\left\{ \begin{array}{l} \text{div } \vec{B} = 0 \\ \text{ou} \\ \oint_S \vec{B} \cdot d\vec{S} = 0 \end{array} \right.$$

IV.4) Rôle du temps

- + En régime permanent (§ 2 & § 3) \vec{E} et \vec{B} sont totalement découplés.
- + Mais la conservation de la charge relie $\frac{\partial \rho}{\partial t}$ (lié à \vec{E}) à \vec{j} (lié à \vec{B})

- x en permanent $\vec{\text{rot}} \vec{B} = \mu_0 \vec{j}$ impose $\text{div} \vec{\text{rot}} \vec{B} = 0 = \text{div} \vec{j}$
 - donc en dehors du régime permanent il faut être vrai!

$$\vec{\text{rot}} \vec{B} = \mu_0 \vec{j} + \vec{X} \text{ tel que } \text{div} \vec{\text{rot}} \vec{B} = 0 \text{ donne :}$$

$$\mu_0 \text{div} \vec{j} + \text{div} \vec{X} = 0$$

$$- \mu_0 \frac{\partial \rho}{\partial t} + \text{div} \vec{X} = 0 \text{ soit } \text{div} \vec{X} = + \mu_0 \frac{\partial \rho}{\partial t}$$

$$\bullet \text{ Or nous avons } \text{div} \vec{E} = \frac{\rho}{\epsilon} \text{ soit } \text{div} \left(\frac{\partial \vec{E}}{\partial t} \right) = \frac{1}{\epsilon} \frac{\partial \rho}{\partial t}$$

$$\Rightarrow \vec{X} = \mu_0 \epsilon \frac{\partial \vec{E}}{\partial t}$$

- x Nouvelle équation de Maxwell-Ampère

$$\boxed{\vec{\text{rot}} \vec{B} = \mu_0 \left(\vec{j} + \epsilon \frac{\partial \vec{E}}{\partial t} \right)}$$

- interprétation : $\epsilon \frac{\partial \vec{E}}{\partial t}$ est un courant de déplacement!

$$\left[\epsilon \frac{\partial \vec{E}}{\partial t} \right] = A \cdot V \cdot m \cdot s \cdot V \cdot m^{-1} \cdot s^{-1}$$

les charges sont mises
en mouvement par la
variation de \vec{E}
et ce courant génère un \vec{B} .



Suite IV.4) rôle du temps

+ Que se passe-t-il lorsque \vec{B} varie avec le temps?

* Rappel sur l'expérience de Faraday \rightarrow voir verso p30

la variation du flux du champ magnétique avec le temps crée un courant induit qui "s'oppose" au champ inducteur.

Ce courant génère une variation de tension, appelée force électromotrice (f.e.m)

* on a alors quelque soit S

$$f.e.m = - \frac{d\Phi}{dt} = - \frac{d}{dt} \iint_S \vec{B} \cdot d\vec{S} = \iint_S - \frac{\partial \vec{B}}{\partial t} \cdot d\vec{S}$$

$$f.e.m = \oint_{C_S} \vec{E} \cdot d\vec{l} = \iint_S \vec{\text{rot}} \vec{E} \cdot d\vec{S}$$

par égalité, nous obtenons $\forall S: \iint_S \left(\vec{\text{rot}} \vec{E} + \frac{\partial \vec{B}}{\partial t} \right) \cdot d\vec{S} = 0$

* Nouvelle équation de Maxwell-Faraday

$$\boxed{\vec{\text{rot}} \vec{E} = - \frac{\partial \vec{B}}{\partial t}}$$

* En reprenant $\vec{E} = - \vec{\text{grad}} V$ et $\vec{B} = \vec{\text{rot}} \vec{A}$ on a :

$$\Rightarrow \vec{E} = - \vec{\text{grad}} V - \frac{\partial \vec{A}}{\partial t} \quad : \text{la variation temporelle du potentiel vecteur est une source de ch. élec.}$$

IV. 5) Equations de Maxwell et propagation

i) Récapitulation des 4 équations dans le cas général

$$\begin{array}{l}
 \text{Maxwell-Gauss} \left\{ \begin{array}{l} \text{div } \vec{E} = \frac{\rho}{\epsilon_0} \\ \text{rot } \vec{E} = - \frac{\partial \vec{B}}{\partial t} \end{array} \right. \\
 \text{Maxwell-Faraday} \\
 \text{Maxwell-Thomson} \left\{ \begin{array}{l} \text{div } \vec{B} = 0 \\ \text{rot } \vec{B} = \mu_0 \left(\vec{J} + \epsilon_0 \frac{\partial \vec{E}}{\partial t} \right) \end{array} \right. \\
 \text{Maxwell-Ampère}
 \end{array}$$

+ Remarquons que les 2 équations Max-Faraday & Max-Ampère relient les dérivées partielles temporelle et spatiale des champs
 \Rightarrow caractéristique de la propagation d'une onde

+ Rappel sur eq^o d'Alembert pour onde progressive $\phi(x,t)$

$$\frac{\partial^2 \phi}{\partial x^2} - \frac{1}{v^2} \frac{\partial^2 \phi}{\partial t^2} = 0 \quad \text{où } v \text{ est la vitesse de propagation (phase)}$$

$$\hookrightarrow \phi(x,t) = f(x+vt) + g(x-vt)$$

ii) Propagation dans le vide sans sources $\begin{cases} \rho = 0 \\ \vec{J} = \vec{0} \end{cases}$

$$\begin{array}{l}
 \text{rot}(\text{rot } \vec{E}) = - \frac{\partial}{\partial t} (\text{rot } \vec{B}) = - \mu_0 \epsilon_0 \frac{\partial^2 \vec{E}}{\partial t^2} \\
 \text{ou } \text{rot}(\text{rot } \vec{E}) = \underbrace{\text{grad}(\text{div } \vec{E})}_{=0} - \nabla^2 \vec{E}
 \end{array} \quad \left\{ \begin{array}{l} \nabla^2 \vec{E} - \epsilon_0 \mu_0 \frac{\partial^2 \vec{E}}{\partial t^2} = 0 \end{array} \right.$$

$\Rightarrow \vec{E}(\vec{r}, t)$ est une onde qui se propage à $v = \frac{1}{\sqrt{\epsilon_0 \mu_0}} = c$

Rem: même démo avec \vec{B}

vitesse lumière!

• Unités : $[\epsilon_0] = \text{kg}^{-1} \cdot \text{m}^{-3} \cdot \text{A}^2 \cdot \text{s}^4$
 $[\mu_0] = \text{kg} \cdot \text{m} \cdot \text{A}^{-2} \cdot \text{s}^{-2}$

$$\Rightarrow \left[\frac{1}{\epsilon_0 \mu_0} \right] = \text{m}^2 \cdot \text{s}^{-2} = [\text{v}^2]$$

• définition de l'opérateur d'Alembertien : $\square = \nabla^2 - \frac{1}{c^2} \frac{\partial^2}{\partial t^2}$

l'équation de propagation des ondes électromagnétiques :

$$\begin{cases} \square \vec{E} = \vec{0} \\ \square \vec{B} = \vec{0} \end{cases}$$

• $\square \vec{E} = \vec{0}$ vraie quelque soit le référentiel

$\Rightarrow c$ (vitesse lumière) constante est une implication de l'électromagnétisme !